

連続曲線箱桁の解析および実験

信州大学 正会員 吉田俊弥
信州大学 学生員○和田三夫

1) まえがき

薄肉曲線箱桁の理論解析は、数多くの人々によって論ぜられている。本論文では、これらの中から曲げねじり理論による解法をもちいる。一般的に曲げねじり理論によつて解析した場合、断面を箱断面のような閉断面にすれば、その断面に特有な係数 $\lambda = R\sqrt{GJ}/Ec_w$ の値が、60以上となり曲げねじりの影響が無視できると考えられているが、1) これは荷重が、せん断中心軸附近に載荷された場合のみであり、曲げねじりが達成するような偏心荷重の場合には、曲げねじりモーメントが、載荷点附近および曲げモーメントとねじりモーメントが生ずるよう支承附近では飛躍的に大きくなることが知られている。これらの付近では、曲げによる応力に比較して、曲げねじりによる、より応力が無視できない場合があると考えられる。これは特に箱断面多主析構造において起り得ることである。

本論文では、特に偏心荷重を考慮して理論解析を進め、また、求められた断面力を利用し、箱桁のフランジとウェブの応力を、せん断力も考慮して解析をした。更にそれと共に併せて考えらるる有効幅の問題についても言及し、合せて、単純支持桁および連続S字型箱桁の鋼製モデルを用いて実験を行ない、理論値との比較検討を行なつた。特に載荷点附近の応力分布については、曲げねじりの影響を検討した。

2) 理論解析

断面力の理論解析は、図-1のS字連続桁をエネルギー法によって行なう。偏心荷重は、ねじりモーメントTと垂直力Pとに分けられる。

ひずみエネルギーは次のようく表わされる。

$$U = \sum_m \frac{R_m}{2} \int_0^{\pi/m} \left\{ \frac{1}{E} \left(\frac{M_y^2}{I} + \frac{M_w^2}{C_w} \right) + \frac{T_s^2}{GJ} \right\} d\varphi \quad (1)$$

上式において、 M_y : 曲げねじりモーメント、 C_w : 曲げねじり抵抗、 T_s : St. Venantねじりモーメント。

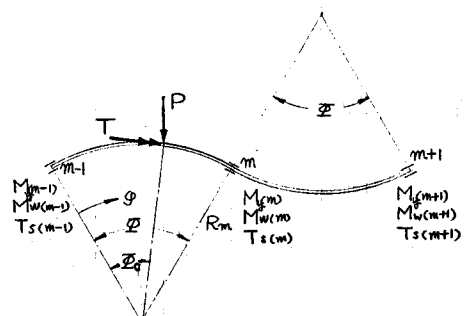


図-1 解析モデル

式中のmは、第mスパンに属する量を表わす。また、2次ねじりモーメントとせん断力の項は、影響が小さくために省略した。たとえば、上式の M_y 、 M_w 、 T_s は、 $0 \leq \theta \leq \pi$ では次のようく表わされる。 $\lambda^2 = GJ/R^2/Ec_w$ 、 $\eta = 1/(1+\lambda^2)$ 、 $w = \bar{w} - \bar{w}_c$ とおけば、1)

$$M_y = (PR-T) \frac{\sin w}{\sin \bar{w}} \sin(\varphi) + M_{w(m)} \frac{\sin(\varphi)}{\sin \bar{w}} \quad (z-a)$$

$$T_s = -(PR-T)(1-\eta) \frac{\sin w}{\sin \bar{w}} \cos(\varphi) + PR \frac{w}{\bar{w}} - \left\{ PR\eta + T(1-\eta) \right\} \frac{dh \lambda w}{dh \lambda \bar{w}} \omega h \lambda(\varphi) + M_{y(m)} \left\{ \frac{1}{\bar{w}} - (1-\eta) \frac{\cos(\varphi)}{\sin \bar{w}} - \eta \lambda \frac{\omega h \lambda(\varphi)}{dh \lambda \bar{w}} \right\} + M_{w(m)} \left(\frac{1}{\bar{w}R} - \frac{\lambda}{R} \frac{\omega h \lambda(\varphi)}{dh \lambda \bar{w}} \right) \quad (z-b)$$

$$M_w = R \left\{ \frac{T+(PR-T)\eta}{\lambda} \frac{dh \lambda w}{dh \lambda \bar{w}} \lambda h \lambda(\varphi) + (T-PR) \frac{\sin w}{\sin \bar{w}} \sin(\varphi) \right\} - R \eta M_{y(m)} \left(\frac{\sin(\varphi)}{\sin \bar{w}} - \frac{\lambda h \lambda(\varphi)}{dh \lambda \bar{w}} \right) + M_{w(m)} \frac{\lambda h \lambda(\varphi)}{dh \lambda \bar{w}} \quad (z-c)$$

$M_{y(m)}, M_{w(m)}$ を求めるために、曲線桁の全系に最小仕事の原理をもちい次は。

$$\frac{\partial U}{\partial M_{y(m)}} = \sum_{i=m-1}^{m+1} \int_0^{\theta_i} \left\{ \frac{M_{y(i)} \partial M_{y(i)}}{EI \partial M_{y(m)}} + \frac{M_{w(i)} \partial M_{w(i)}}{EC_w \partial M_{y(m)}} + \frac{T_{s(i)} \partial T_{s(i)}}{GJ \partial M_{y(m)}} \right\} d\varphi = 0, \quad \frac{\partial U}{\partial M_{w(m)}} = 0 \quad (3)$$

と表わされ、上式の $M_{y(m)}, M_{w(m)}$ から、それそのスパンにおける断面力を決定する。

次に求められた各断面力を利用して応力を求めるにあたり、断面が薄内断面であることから、せん断おくれの影響を考慮してフランジの直応力を求めてみる。解術方法は、軸方向変位を仮定して基礎微分方程式を導き、それを使方法によって解く方法であり、近似解となる。2) 断面は図-2に示す。

軸方向変位 $U_i (i=1 \sim 4)$ は、
とえは次のようになされる。

$$U_3 = U_0(\varphi) + \mu_1 \psi_1(\varphi) + (1 - \frac{y^2}{b^2}) f_3(\varphi) + y_0 \psi_2(\varphi) \quad (4)$$

$U_0(\varphi)$: 棒理論による軸方向変位

$f_3(\varphi)$: セン断おくれによって生ずる軸方向変位

$\psi_1(\varphi), \psi_2(\varphi)$: せん断おくれによる軸まわりのたわみ角

これによつて、上フランジの直応力は次のようになされる。

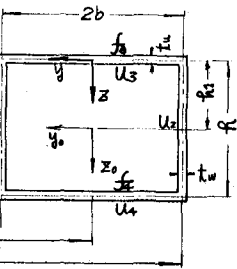


図-2

また、(2)合、(3)式より求められる基礎微分方程式は、フランジ、ウェブ、及び結合点についてこれら求められる。たとえば、エフランジについての式は、次のようになされる。

$$\frac{R}{\rho} \frac{E}{1-\nu^2} \frac{d^2 U_3}{R^2 d\varphi^2} + G \frac{\rho}{R} \frac{d^2 U_3}{d\rho^2} + 2 \frac{G}{R} \frac{dU_3}{d\rho} = 0 \quad , \quad (6)$$

上式を含めた、ハつの基礎式を利用して、 f_3, f_4 を求めるために復方法を適用すると、次のような連立微分方程式が得られる。

$$\frac{d^2 f_3(\varphi)}{d\varphi^2} + \mu_1 \frac{d^2 f_4(\varphi)}{d\varphi^2} - \alpha_1^2 f_3(\varphi) = \eta_1 \frac{dM_y}{d\varphi}, \quad \frac{d^2 f_4(\varphi)}{d\varphi^2} + \mu_2 \frac{d^2 f_3(\varphi)}{d\varphi^2} - \alpha_2^2 f_4(\varphi) = \eta_2 \frac{dM_y}{d\varphi}, \quad (7)$$

(エ式において、 $\mu_1, \mu_2, \eta_1, \eta_2, \alpha_1^2, \alpha_2^2$ の値は、ここでは記載を省略する。)

(7)式を解くことによつて、 $f_{3,4} (i=3,4)$ が求められ、それによつて桁の幅方向の直応力分布が求められる。たとえば、集中荷重 P が働くた場合には、次のようになされる。

$0 \leq \varphi \leq \pi$

$$f_3 = \left\{ \frac{sh \beta_1 w (an - c)}{nh \beta_1 \pi} \cosh \beta_1 (\varphi) - \frac{sh \beta_2 w (am - c)}{nh \beta_2 \pi} \cosh \beta_2 (\varphi) + a \frac{\sin w}{\sin \pi} \cos (\varphi) \right\} P \cdot R \quad (8)$$

また、端モーメント M が作用する場合には、次のようにな求めることができる。

$$f_3 = A_1 sh \beta_1 (\varphi) + A_2 \cosh \beta_1 (\varphi) + A_3 sh \beta_2 (\varphi) + A_4 \cosh \beta_2 (\varphi) + a \frac{M}{\sin \pi} \cos (\varphi) \quad (9)$$

(8), (9) 式中の $\beta_1, \beta_2, a, c, m, n$, は、ここでは記載を省略する。)

(9) 式における A_1, A_2, A_3, A_4 は次式から求めることができる。

$$A = K^{-1} \cdot M \quad (10)$$

(10) 式の A , K , M , は次のようく表わされる。

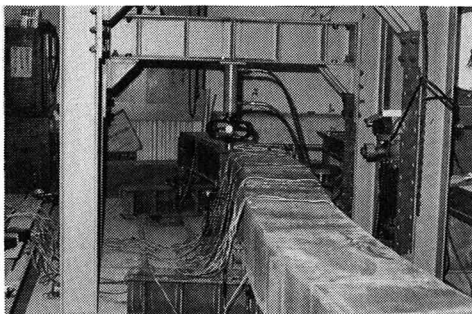
$$A = \begin{bmatrix} A_1 \\ A_2 \\ A_3 \\ A_4 \end{bmatrix}, \quad K = \begin{bmatrix} \beta_1 & 0 & \beta_2 & 0 \\ m\beta_1 & w\beta_1 & m\beta_2 & w\beta_2 \\ m\beta_1 & 0 & n\beta_2 & 0 \\ m\lambda\beta_1 & m\lambda\beta_1 & m\lambda\beta_2 & m\lambda\beta_2 \end{bmatrix}, \quad M = - \begin{bmatrix} 0 \\ a \\ 0 \\ c \end{bmatrix} \cot \bar{\theta} \cdot M, \quad (11)$$

(5) ~ (11) から求められたフランジの直応力分布から有効幅を b_m で表わせば、
 $b_m = \sum_{i=1}^n \frac{\int_{S_i} T_{ui} dy}{S_i}$ (S_i は、フランジ端部の中央と端を結ぶ直線で囲まれた台形の面積を表わし、 $i=1, 2$ は内端、外端を示す。)

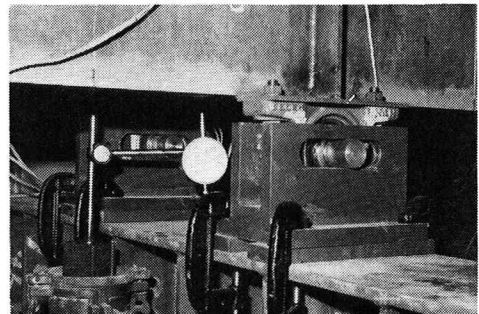
3) 模型実験

実験モデルとして、次に示すような断面および長さの鋼製箱断面解析用いた。図-1, 2 の記号を用いて表わすと、 $R=30.0 \text{ cm}$, $b=20.0 \text{ cm}$, $t_u=t_w=0.6 \text{ cm}$, $R=820.0 \text{ cm}$, $\bar{\theta}=0.4 \text{ radian}$

各支点にダイヤフラムを、載荷点(中央点)にはスチフナーを配置し、また支点にはローブロックを用いた。載荷点は、 $R=820.0 \text{ cm}$, 780.0 cm である。写真は $R=780.0 \text{ cm}$ を示す。



連続桁載荷状況



ローラー 支承

4) 実験結果と理論値の比較および考察

モデルの断面定数、断面力は次のように表わされる。 M_y, M_w は載荷点の値を示す。

$$I_y = 1.44 \times 10^4 \text{ cm}^4, \quad I_z = 2.22 \times 10^4 \text{ cm}^4, \quad C_w = 5.42 \times 10^4 \text{ cm}^6,$$

$$J = 2.60 \times 10^4 \text{ cm}^4, \quad \lambda = R \sqrt{GJ/Ew} = 344,$$

$$\varphi = 0.5 \text{ まき面: } \quad M_y = 6.66 \times 10^5 \text{ kg cm}, \quad M_w = -3.58 \times 10^5 \text{ kg cm}^2, \\ df/\varphi = df/\varphi = 7.52 \times 10^{-4} \text{ cm},$$

上式の載荷点は、 $R=820.0 \text{ cm}$ であり、断面定数を用いて解析した理論値と、実験値を、次ページの図-3, 4 に示す。これは箱桁の上部フランジの応力分布を示す。同図から載荷断面において、載荷点と反対側、IN~IN' では、引張応力が見られる。これは、載荷断面にスチフナーだけで、ダイヤフラムを配置しなかつたために断面に変化が生じ、曲げねじれ応力が曲げ応力を越えて、局部的にはあるが引張応力を生じさせたものと考えられる。一般的な曲げ理論によつて得られる直線分布の応力は図が繁雑になるために本文では省略したが、載荷断面だけ数值的に示すと、IN~IN': -71.2 kg/cm^2 , CE~CE': -69.4 kg/cm^2 , ou~ou': -67.7 kg/cm^2 である。仮に曲げねじりを考慮しなかつた場合、一般棒理論による理論値は、実際の応力に比較して、半分以下であり、これを用いて設計すると非常

に危険であることが、図-3, 4
から理解できる。

薄肉閉断面における、曲げねじりの影響は、曲げモーメント、ねじりモーメント、せん断力、など断面力とかでわかれには、その影響は大きくなく無視できる。しかし応力について考えてみると、曲げ応力よりも大きな値を持つことが、この実験によって実際に理解できる。また図-4からせん断における影響も、曲げねじり同様、載荷点付近では、考慮すべきであることが理解できる。

直線桁の内端載荷の場合、単純桁の内端、外端載荷の場合、それらの理論値、実験値は当日スライドで発表する。

ダイヤフラムと載荷点に配置しなかったために、断面度化の影響が実験値に生じたと前述したが、面内変形を考慮した論文(3)を用いて応力の比較を行なつてみたいと思っている。また本論文では、單一箱桁の場合のみを取り扱つたが、箱断面多主桁構造にも拡張して、その影響を考慮してみたいと考えている。

参考文献

- 1) 渡辺昇：曲線桁の理論と計算
- 2) 小松定夫・他：曲線桁の shear lag と有効幅に関する研究 土木学会論文集 第191号
- 3) 能町紀雄・他：断面変形を考慮した曲線箱桁の応力解析 土木学会論文集 第187号

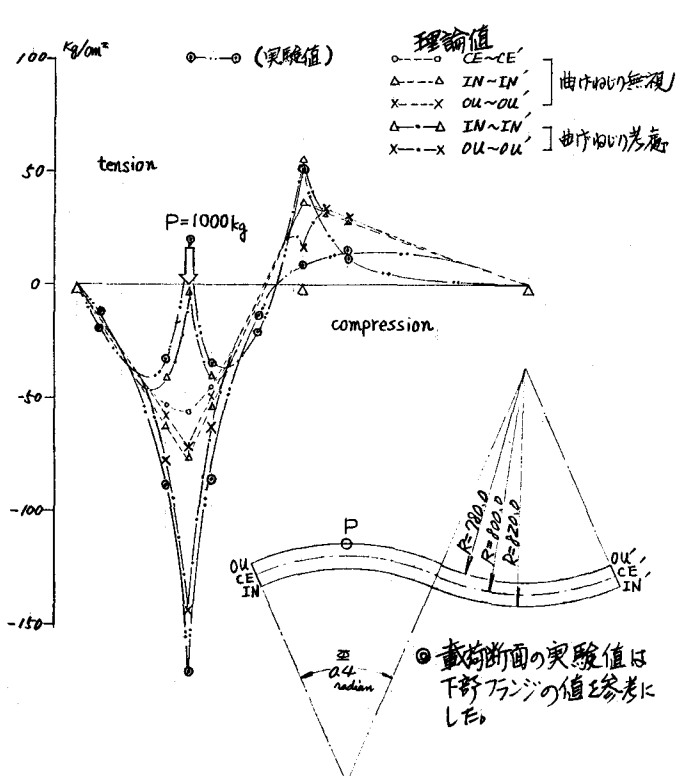


図-3 上部フランジの軸方向応力分布(外端載荷)

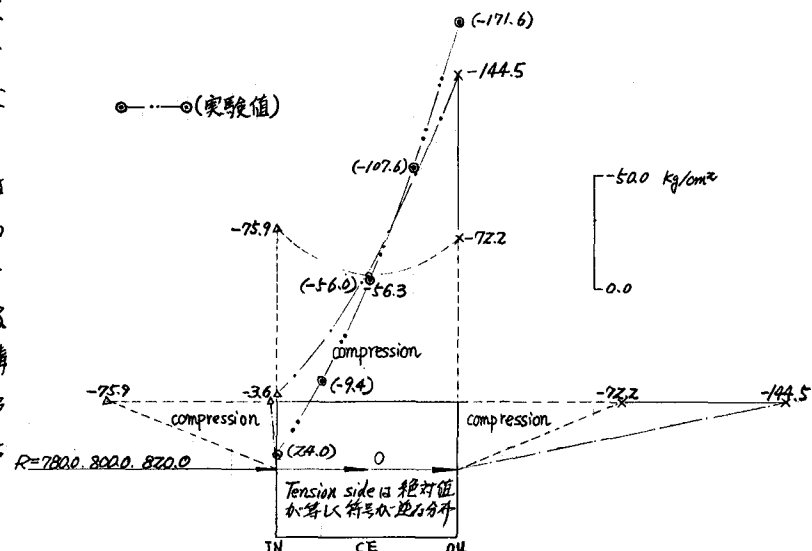


図-4 載荷断面の応力分布